

**РАЗВИТИЕ УПРУГО-ПЛАСТИЧЕСКИХ ДЕФОРМАЦИЙ В ПЛИТЕ  
ПРИ НЕСТАЦИОНАРНОМ ТЕПЛОВОМ РЕЖИМЕ**

**A. Г. Костюк**

(Москва)

Упруго-пластическая деформация плиты в нестационарном температурном поле рассмотрена в работе [1] в терминах теории течения. Результат получен в виде системы уравнений, требующих численного решения.

В работе дано аналитическое решение задачи о деформации плиты при одностороннем и двустороннем тепловом ударе. Вывод основных уравнений задачи в отличие от [1] дан в терминах деформационной теории.

Нагружение тела при воздействии нестационарного температурного поля вообще не является простым: в одно и то же время в теле существуют области активной и пассивной деформации; если образуется всего одна пластическая область, то процесс деформирования делится на четыре стадии. Первая стадия — стадия упругого деформирования протекает от начала нестационарного теплового режима до момента, когда в наиболее напряженной точке наступает условие текучести.

На второй стадии режима в теле существуют две области: упругая и область активной пластической деформации. Вторая стадия длится до момента, когда в некоторой точке зоны активной пластической деформации величина пластической деформации достигает максимума (мерой пластической деформации может быть интенсивность пластической деформации или максимальный угол сдвига), вслед за этим в рассматриваемой точке наступает процесс разгрузки.

На третьей стадии существуют три зоны: упругая, активной пластической деформации и разгрузки. Во время третьей стадии процесса граница между упругой зоной и зоной активной пластической деформации продолжает перемещаться в глубь упругой зоны. Вслед за упомянутой границей движется поверхность раздела зоны активной пластической деформации и зоны разгрузки.

Первую из названных границ для краткости будем именовать фронтом нагружения, вторую — фронтом разгрузки.

Третья стадия режима заканчивается в момент, когда зона активной пластической деформации исчезает, после чего наступает четвертая стадия — стадия упругой деформации во всем объеме тела.

1. В качестве примера задач упомянутого типа рассмотрим процесс развития упруго-пластических деформаций в неограниченной плите при нестационарном тепловом режиме. Толщина плиты всюду постоянна и равна  $2L$ . Температурное поле — одномерное и симметричное<sup>1</sup> по отношению к срединной плоскости пластины.

При этих условиях два главных напряжения (параллельных срединной плоскости) равны между собой, а третье (перпендикулярное срединной плоскости) равно нулю.

Материал плиты будем считать упруго-идеально-пластическим и сжимаемым как в упругой, так и в пластической области.

Рассмотрим плиту в третьей стадии процесса, когда в ней существуют зоны упругой работы, активной пластической деформации и разгрузки.

При прогреве или охлаждении плиты со стороны ее боковых поверхностей пластическая зона и вслед за ней зона разгрузки распространяются от границы плиты вглубь.

Пусть  $x = X/L$  — относительная текущая координата,  $x_1 = X_1/L$  — относительное расстояние от срединной плоскости пластины до границы упругой зоны и зоны активной пластической деформации,  $x_2 = X_2/L$  — относительная координата границы зоны активной пластической деформации и зоны разгрузки.

Допустим, что упругая зона простирается от срединной плоскости до  $x = x_1$ , зона активной пластической деформации занимает область  $x_1 \leq x < x_2$ , зона разгрузки определяется интервалом  $x_2 < x \leq 1$ .

Для перечисленных трех зон можно написать следующие основные соотношения

$$\varepsilon = \frac{1-\nu}{E} \sigma + at(\tau, x) \quad (0 \leq x \leq x_1) \quad (1.1)$$

$$\varepsilon = \varepsilon^p + \frac{1-\nu}{E} \sigma + at(\tau, x) \quad (x_1 \leq x \leq x_2) \quad (1.2)$$

$$\varepsilon = \varepsilon_m^p + \frac{1-\nu}{E} \sigma + at(\tau, x) \quad (x_2 \leq x \leq 1) \quad (1.3)$$

Здесь  $\varepsilon$  — суммарная деформация в направлении, параллельном плоскостям плиты;  $\varepsilon^p$  — пластическая деформация, которая в активной зоне зависит от координаты и времени;  $\varepsilon_m^p$  — остаточная (пластическая) деформация в зоне разгрузки, будет функцией координаты  $x$ ;  $\sigma$  — напряжение в направлении деформации  $\varepsilon$ ;  $\sigma_s$  — предел текучести (со знаком напряжения  $\sigma$ );  $a$  — коэффициент линейного удлинения;  $\tau =$

<sup>1</sup> Условие может быть заменено требованием неискривляемости срединной плоскости плиты.

$= a\tau_1/L^2$  — безразмерное время;  $a$  — коэффициент температуропроводности;  $\tau_1$  — время;  $E$ ,  $v$  — упругие константы материала;  $t(\tau, x)$  — температура.

В дальнейшем предполагаем, что  $E$ ,  $v$ ,  $\sigma_s$ ,  $a$  от температуры не зависят.

Ввиду неискривляемости срединной плоскости деформация  $\varepsilon$  от  $x$  не зависит, но изменяется с течением времени.

Полагая  $x = x_1$  в равенстве (1.2) и вычитая получаемое уравнение почленно из исходного (1.2), найдем

$$\varepsilon^p(\tau, x) = a [t(\tau, x_1) - t(\tau, x)] \quad (x_1 = x_1(\tau)) \quad (1.4)$$

На границе  $x = x_2$  пластическая деформация достигает максимального значения, т. е.

$$(\partial \varepsilon^p / \partial \tau)_{x=x_2} = 0 \quad (1.5)$$

Из (1.5) и (1.4) получаем дифференциальное уравнение

$$\frac{dx_1}{dt} = \frac{\partial t(\tau, x_2) / \partial \tau - \partial t(\tau, x_1) / \partial \tau}{\partial t(\tau, x_1) / \partial x_1} \quad (1.6)$$

в которое, кроме неизвестной функции  $x_1$ , входит также  $x_2 = x_2(\tau)$ . Для получения второго условия напишем уравнение равновесия для пластины в виде

$$\int_0^1 \sigma dx = \int_0^{x_1} \sigma dx + \int_{x_1}^{x_2} \sigma_s dx + \int_{x_2}^1 \sigma dx = 0 \quad (1.7)$$

Дифференцируя левую часть (1.7) субстанциально по времени, после упрощений получим

$$\int_0^{x_1} \frac{\partial \sigma}{\partial \tau} dx + \int_{x_2}^1 \frac{\partial \sigma}{\partial \tau} dx = 0 \quad (1.8)$$

Напряжения в упругой зоне и зоне разгрузки выразим из уравнений (1.1) и (1.3) соответственно

$$\sigma = \sigma_s + \frac{E\alpha}{1-v} [t(\tau, x_1) - t(\tau, x)] \quad (0 \leq x \leq x_1) \quad (1.9)$$

$$\sigma = \sigma_s + \frac{E\varepsilon}{1-v} [t(\tau, x_1) - t(\tau, x)] - \frac{E\varepsilon_m^p}{1-v} \quad (x_2 \leq x \leq 1) \quad (1.10)$$

Здесь принято получаемое из (1.1) условие

$$\varepsilon = \frac{1-v}{E} \sigma_s + at(\tau, x_1) \quad (1.11)$$

Из (1.9) и (1.10) видно, что  $\partial \sigma / \partial \tau$  в упругой зоне и зоне разгрузки выражается по единой формуле, так как  $\partial \varepsilon_m^p / \partial \tau = 0$ .

Вводя (1.9) и (1.10) в уравнение равновесия (1.8), после преобразований с использованием (1.6) получим следующее конечное соотношение между функциями  $x_1$ ,  $x_2$  и временем  $\tau$

$$(1 + x_1 - x_2) \frac{\partial t(\tau, x_2)}{\partial \tau} - \int_0^{x_1} \frac{\partial t(\tau, x)}{\partial \tau} dx - \int_{x_2}^1 \frac{\partial t(\tau, x)}{\partial \tau} dx = 0 \quad (1.12)$$

Сформулированная задача сводится к решению уравнений (1.6) и (1.12), из которых одно дифференциальное первого порядка и второе — конечное. Последнее для любого заданного закона температуры  $t(\tau, x)$  имеет вид  $f(x_1, x_2, \tau)$ .

Развитие процесса во второй стадии (до появления зоны разгрузки) исследуется при помощи уравнения равновесия, записываемого в виде

$$\int_0^{x_1} \sigma dx + \int_{x_1}^1 \sigma_s dx = 0 \quad (1.13)$$

и соотношения (1.9).

Подставляя (1.9) в (1.13), получим конечное условие, определяющее  $x_1 = x_1(\tau)$  во второй стадии

$$x_1 t(\tau, x_1) - \int_0^{x_1} t(\tau, x) dx = -\frac{(1-v)\sigma_s}{E\alpha} \quad (1.14)$$

Конец второй и начало третьей стадии соответствует максимуму пластической деформации (1.4) на поверхности плиты при  $x = 1$ .

Соответствующий момент  $\tau = \tau_*$  может быть определен путем отыскания максимума функции

$$\varepsilon^p(\tau, 1) = \alpha [t(\tau, x_1) - t(\tau, 1)] \quad (1.15)$$

где  $x_1 = x_1(\tau)$  в соответствии с (1.14).

Приравнивая нулю производную по времени от правой части (1.15) и используя (1.14), после преобразования получим уравнение

$$\int_0^{x_1} \frac{\partial t(\tau, x)}{\partial \tau} dx = x_1 \frac{\partial t(\tau, 1)}{\partial \tau}$$

из которого и найдем значение  $\tau = \tau_*$ , а по (1.14) определим  $x_{1*} = x_1(\tau_*)$ , соответствующие началу третьей стадии процесса.

Следовательно, уравнения (1.6) и (1.12), определяющие координаты границ зон в третьей стадии, должны быть решены при следующих начальных условиях:

$$x_1 = x_{1*} \text{ при } \tau = \tau_*, x_2 = 1$$

Найдя функции  $x_1 = x_1(\tau)$  и  $x_2 = x_2(\tau)$ , можно по формуле (1.4) определить пластическую деформацию. Полагая  $x = x_2$ , получим из (1.4) максимальное значение деформации, а так как в процессе разгрузки пластическая деформация в каждой точке остается неизменной, то зависимость  $\varepsilon^p(x_2)$  одновременно является и зависимостью  $\varepsilon_m^p(x)$ . Иными словами остаточная деформация  $\varepsilon^p(x)$  определяется параметрически:

$$\varepsilon_m^p(x) = \alpha [t(\tau, x_1) - t(\tau, x)], \quad x_1 = x_1(\tau), \quad x = x_2(\tau)$$

где  $\tau$  — параметр. Напряжения в упругой зоне и зоне разгрузки определяются формулами (1.9) и (1.10); в зоне активной пластической деформации  $\sigma = \sigma_s$ .

Четвертая стадия процесса (общая разгрузка) начинается с момента  $\tau_{**}$ , определяемого любым из соотношений

$$dx_1/d\tau = 0 \text{ или } x_1(\tau_{**}) = x_2(\tau_{**})$$

Максимальная величина области, где произошла пластическая деформация, может быть найдена из условия

$$y_0 = 1 - x_1(\tau_{**}) = 1 - x_0$$

Напряжения при общей разгрузке можно определить из формул (1.1) и (1.3), где функция времени  $\varepsilon$  должна быть найдена из условия равновесия. Придем к следующим зависимостям

$$\sigma = \frac{E}{1-\nu} \left( \int_{x_0}^1 \varepsilon_m^p(x) dx + \alpha \int_0^1 t(\tau, x) dx - \alpha t(\tau, x) \right) \quad (0 \leq x \leq x_0) \quad (1.16)$$

$$\sigma = \frac{E}{1-\nu} \left( \int_{x_0}^1 \varepsilon_m^p(x) dx + \alpha \int_0^1 t(\tau, x) dx - \varepsilon_m^p(x) - \alpha t(\tau, x) \right) \quad (x_0 \leq x \leq 1)$$

Для отыскания остаточных напряжений достаточно в формулах (1.16) устремить  $\tau$  к бесконечности, т. е. принять стационарное температурное поле.

Рассмотренное полностью применимо для описания процесса прогрева или охлаждения тонкой бесконечно длинной полосы, имеющей ширину  $2L$  при симметричном относительно оси полосы температурном поле.

Для использования в этом случае вышеприведенных результатов достаточно во всех формулах заменить  $1 - \nu$  на 1.

2. Рассмотрим действие на плиту теплового удара, при котором температура на граничных плоскостях плиты внезапно повышается на величину  $t_0$  и в дальнейшем поддерживается на неизменном уровне. Для малых значений безразмерного времени  $\tau$  температурное поле на половине толщины приближенно соответствует закону температур в полупространстве

$$t = t_0 \operatorname{erfc} \frac{1-x}{2\sqrt{\tau}} \quad \left( \operatorname{erfc} z = 1 - \frac{2}{\sqrt{\pi}} \int_0^z e^{-\theta^2} d\theta \right) \quad (2.1)$$

При законе (2.1) уравнения (1.6) и (1.12) приводятся к следующему виду:

$$\begin{aligned} \frac{dy_1}{d\xi} \exp\left(-\frac{y_1^2}{4\xi^2}\right) &= \frac{y_1}{\xi} \exp\left(-\frac{y_1^2}{4\xi^2}\right) - \frac{y_2}{\xi} \exp\left(-\frac{y_2^2}{4\xi^2}\right) \\ \left[ (1-y_1+y_2) \frac{y_2}{2\xi^2} + 1 \right] \exp\left(-\frac{y_2^2}{4\xi^2}\right) - \exp\left(-\frac{y_1^2}{4\xi^2}\right) - 1 + \exp\left(-\frac{1}{4\xi^2}\right) &= 0 \end{aligned} \quad (2.2)$$

Здесь  $y_1 = 1 - x_1$ ,  $y_2 = 1 - x_2$ ,  $\xi = \sqrt{\tau}$ .

Решение системы (2.2) ищем в виде рядов

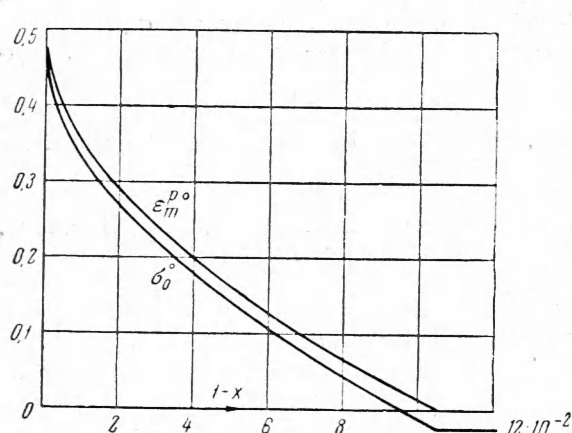
$$y_1 = a_1 \xi + a_2 \xi^2 + a_3 \xi^3 + \dots, \quad y_2 = b_2 \xi^2 + b_3 \xi^3 + \dots$$

коэффициенты которых без труда определяются при устремлении  $\xi \rightarrow 0$  в равенствах (2.2) и в серии равенств, получающихся из (2.2) путем последовательного дифференцирования по  $\xi$ . (При этом последний член во втором равенстве (2.2) без заметного ущерба для точности может быть отброшен.)

С точностью до члена порядка  $\xi^4$  решение представляется следующими формулами

$$\begin{aligned} y_1 &= a_1 \xi - 2\xi^2 - a_1 \xi^3 + \frac{2}{3} [(2 - a_1^2) + p] \xi^4 \\ y_2 &= 2p \xi^2 + 4a_1 p \xi^3 + 2p [3(a_1^2 - 1) - p(1 - p)] \xi^4 \\ &\quad \left( p = \exp \left( -\frac{a_1^2}{4} \right) \right) \end{aligned} \quad (2.3)$$

Постоянная  $a_1$  определяется на основании начальных условий. Из (1.3) при  $\xi \rightarrow 0$ ,  $x = 1$  получим



Фиг. 1

Фиг. 2

и фронта разгрузки, рассчитанные по формулам (2.3) при  $s = 0.5$ .

Как видно, зона разгрузки появляется в начальный момент, так же как и зона активной пластической деформации. В момент  $\tau = \tau_{**}$  зона активной пластической деформации исчезает и начинается стадия общей разгрузки плиты.

На фиг. 2 представлены графики безразмерной остаточной деформации  $\varepsilon_m^{p^*} = \varepsilon_m^p / \alpha t_0$  и остаточного напряжения  $\sigma_0^* = (1 - v) \sigma_0 / E \alpha t_0$  для  $s = 0.5$ .

На фиг. 3 изображена зависимость относительной толщины  $y_0$  зоны, подвергнувшейся пластическому деформированию, от параметра  $s$ .

Как показывает анализ, при  $s < 0.28$  в рассматриваемом случае теплового удара при сделанном предположении о независимости физических и механических характеристик материала от температуры в плите появляется вторая зона пластической деформации, которая начинает развиваться от срединной плоскости плиты, и при весьма малых  $s$  близко подходит к периферийной пластической области. В данной работе действие теплового удара при  $s < 0.28$  количественно не рассматривается.

4. Упруго-пластические деформации в свободной плите при несимметричном температурном поле могут быть рассмотрены методом, изложенным в п. п. 2 и 3.

Допустим, что свободная плита произвольного очертания в плане, имеющая постоянную толщину  $L$ , подвергается воздействию температуры  $t = t(t, x)$ ;  $x$  отсчитывается от одной из граничных плоскостей в направлении другой плоскости. При несимметричном относительно срединной поверхности температурном поле плита искривится; при этом величина кривизны при выбранных условиях во всех точках срединной поверхности должна быть одинакова и изменяться только в зависимости от времени. В левой части формул (1.1), (1.2) и (1.3) вместо  $\varepsilon$  следует поставить  $\varepsilon_1 + \mu x$ , где  $\varepsilon_1 -$

$$\varepsilon_m^p = -\frac{1-v}{E} \sigma_s - \alpha t_0$$

С другой стороны, устремляя  $\xi$  к нулю в формуле (2.1) при  $x = x_1$ , из (1.15) найдем

$$\varepsilon_m^p = \alpha t_0 \left( \operatorname{erfc} \frac{a_1}{2} - 1 \right)$$

Из последних двух соотношений найдем условие для определения постоянной  $a_1$  в следующем виде:

$$\begin{aligned} \operatorname{erfc} \frac{a_1}{2} &= s, \\ s &= \frac{(1-v)|\sigma_s|}{E \alpha t_0} \end{aligned} \quad (2.4)$$

На фиг. 1 представлены законы распространения фронта пластического нагружения

полная деформация при  $x = 0$ ; разница деформаций  $\mu$  на граничных поверхностях, связана с кривизной срединной поверхности  $\kappa$  очевидным соотношением  $\mu = \kappa L$ .

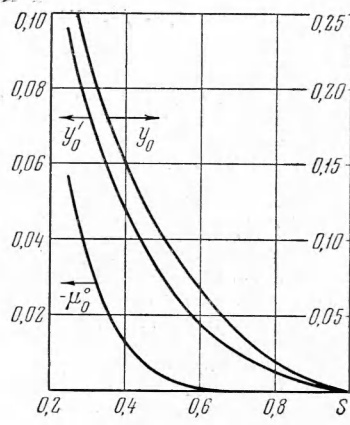
Для свободной плиты, кроме условия равновесия (1.5), должно быть выполнено требование равенства нулю изгибающего момента в сечении плиты, записываемое в виде

$$\int_0^1 \sigma x \, dx = 0$$

где  $\sigma$  по-различному выражается в упругой зоне, зоне активной пластической деформации и зоне разгрузки.

Рассуждения, во многом сходные с тем, что использованы в п. 2, приводят к следующим основным уравнениям для свободной плиты

$$x_1^2 \theta(\tau, x_1) + 2x_1 \int_0^{x_1} \theta(\tau, x) \, dx - 6 \int_0^{x_1} \theta(\tau, x) x \, dx = \\ = (3 - 2x_1) s \quad \left( \theta = \frac{t}{t_0} \right) \quad (3.1)$$



Фиг. 3

Уравнение (3.1) дает закон перемещения фронта нагружения на второй стадии процесса. На третьей стадии  $x_1$ ,  $x_2$  и  $\mu^\circ = \mu / a t_0$  определяются системой уравнений

$$\begin{aligned} \left( \frac{\partial \theta(\tau, x_1)}{\partial x_1} - \mu^\circ \right) \frac{dx_1}{d\tau} &= \frac{\partial \theta(\tau, x_2)}{\partial \tau} - \frac{\partial \theta(\tau, x_1)}{\partial \tau} - (x_2 - x_1) \frac{d\mu^\circ}{d\tau} \\ (1 + x_1 - x_2) \frac{\partial \theta(\tau, x_2)}{\partial \tau} - \int_0^{x_1} \frac{\partial \theta(\tau, x)}{\partial \tau} \, dx - \int_{x_2}^1 \frac{\partial \theta(\tau, x)}{\partial \tau} \, dx + \\ + \left[ \frac{1}{2} - x_2 + \frac{(x_2 - x_1)^2}{2} \right] \frac{d\mu^\circ}{d\tau} &= 0 \quad (3.2) \\ \frac{1}{2} (1 + x_1^2 - x_2^2) \frac{\partial \theta(\tau, x_2)}{\partial \tau} - \int_0^{x_1} \frac{\partial \theta(\tau, x)}{\partial \tau} x \, dx - \int_{x_2}^1 \frac{\partial \theta(\tau, x)}{\partial \tau} x \, dx + \\ + \left[ \frac{1}{3} - \frac{1}{2} x_2 + \frac{1}{6} (x_2 - x_1)^2 (2x_1 + x_2) \right] \frac{d\mu^\circ}{d\tau} &= 0 \end{aligned}$$

Для температурного поля (2.1) решение системы (3.2) имеет следующий вид:

$$\begin{aligned} y_1 &= a_1 \xi - 8\xi^2 + \left( 6\sqrt{\pi} \frac{s}{p} + 2a_1 \right) \xi^3 + \dots \quad \mu^\circ = \frac{12p\xi}{\sqrt{\pi}} + \left( -12s + \frac{36a_1 p}{\sqrt{\pi}} \right) \xi^2 + \dots \\ y_2 &= 8p\xi^2 + \left( -12\sqrt{\pi}s + 52a_1 p \right) \xi^3 + \dots \end{aligned}$$

$a_1$  определяется из условия (2.4).

Остаточная кривизна  $\mu_0^\circ$  может быть найдена на основании теоремы о разгрузке. Для чисто упругого искривления плиты легко получить результат в виде

$$\mu_e^\circ = \frac{12}{\sqrt{\pi}} \xi - 12\xi^2 + 12\xi^2 \operatorname{erfc} \frac{1}{2\xi}$$

Остаточная кривизна  $\mu_0$  определяется по формуле  $\mu_0^\circ = \mu^\circ(\xi_{**}) - \mu_e^\circ(\xi_{**})$ ; имеем

$$\mu_0^\circ = -\frac{12}{\sqrt{\pi}} (1 - p) \xi_{**} + \left[ 12(1 - s) + \frac{36}{\sqrt{\pi}} a_1 p \right] \xi_{**}^2 - 12\xi_{**}^2 \operatorname{erfc} \frac{1}{2\xi_{**}}$$

где  $\xi_{**}^2 = \tau_{**} - \tau_{**}$  — момент исчезновения зоны активной пластической деформации, определяемый из условий  $y_1(\xi_{**}) = y_2(\xi_{**})$ .

На фиг. 3 представлены графики  $y_0'$  и  $\mu_0^\circ$  в зависимости от  $s$ , позволяющие судить о глубине проникновения ( $y_0'$ ) пластической деформации и об остаточном искривлении ( $\mu_0^\circ$ ) свободной плиты при тепловом ударе.

Московский энергетический  
институт

Поступила 31 1 1961

#### ЛИТЕРАТУРА

- Landau H. G., Weiner J. H. Transient and residual stresses in heat — treated plates. Journ. Appl. Mech., v. 25, No. 4, 1958.